УДК 546.623.36:544.23.022

АНАЛИЗ СТРУКТУРЫ АЭРОГЕЛЕЙ ОКСИГИДРОКСИДА АЛЮМИНИЯ МЕТОДАМИ МАЛОУГЛОВОГО РАССЕЯНИЯ

© 2018 г. А. Н. Ходан^{1,*}, Г. П. Копица^{2,3}, Х. Э. Ёров⁴, А. Е. Баранчиков⁵, В. К. Иванов^{5,6}, А. Feoktystov⁷, V. Pipich⁷

¹Институт физической химии и электрохимии им. А.Н. Фрумкина РАН, 119071 Москва, Россия ²НИЦ КИ Петербургский институт ядерной физики им. Б.П. Константинова, 188300 Гатчина, Россия ³Институт химии силикатов им. И.В. Гребенщикова РАН, 199034 Санкт-Петербург, Россия ⁴Московский государственный университет им. М.В. Ломоносова, 119991 Москва, Россия ⁵Институт общей и неорганической химии им. Н.С. Курнакова РАН, 119071 Москва, Россия ⁶Национальный исследовательский Томский государственный университет, 634050 Томск, Россия ⁷Jülich Centre for Neutron Science, Forschungszentrum Jülich GmbH, Outstation at MLZ, Garching, Germany *E-mail: anatole.khodan@gmail.com

Поступила в редакцию 22.07.2017 г.

Изучена микро- и мезоструктура наноструктурированного оксигидроксида алюминия, формирующегося в виде высокопористого монолитного материала при окислении поверхности жидкометаллического раствора алюминия в ртути в воздушной среде с контролируемой температурой и влажностью. Методами рентгенофазового, термического анализа, низкотемпературной адсорбции азота, просвечивающей электронной микроскопии, малоуглового и ультрамалоуглового рассеяния нейтронов, а также малоуглового рассеяния рентгеновского излучения проведены комплексные исследования образцов, как синтезированных при температуре 25 °C, так и изотермически отожженных при температурах до 1150 °C. Установлено, что структура монолитных образцов может быть описана в рамках трехуровневой модели, включающей в себя первичные неоднородности (характерный размер $r_{\rm c}\approx 9-19$ Å), формирующие фибриллы (радиус поперечного сечения $R\approx 36-43$ Å, длина $L\approx 3200-3300$ Å) или ламели (толщина $T\approx 110$ Å, ширина $W\approx 3050$ Å), которые, в свою очередь, объединены в крупномасштабные агрегаты (характерный размер $R_{\rm c}$ 1.25–1.4 мкм) с незначительной шероховатостью поверхности. Показано, что высокая удельная площадь поверхности (~ 200 м²/ $_{\rm r}$), характерная для исходного образца, сохраняется при его термическом отжиге до 900 °C, а после термической обработки при 1150 °C уменьшается до ~ 100 м²/ $_{\rm r}$ в результате спекания фибрилл.

Ключевые слова: наноструктурированный оксигидроксид алюминия, аэрогели, малоугловое рассеяние нейтронов, малоугловое рассеяние рентгеновского излучения.

DOI: 10.7868/S0207352818040017

введение

Окисление металлического алюминия на воздухе в присутствии ртути, приводящее к образованию рыхлых оксидов и быстрому разрушению алюминиевых изделий, известно давно [1]. Продуктом такого окисления является наноструктурированный оксигидроксид алюминия (НОА), характеризующийся волокнистой структурой и крайне низкой плотностью (~0.013 г/см³), что позволяет отнести его к аэрогелям на основе одномерных структур. Получение 1D аэрогелей является активно развивающейся областью исследований, в частности, были описаны материалы на основе оксидов вольфрама [2], титанатов и манганатов щелочных

металлов [3], металлической меди [4], углеродных нанотрубок [5].

Основной проблемой при получении монолитных материалов на основе НОА является обеспечение постоянства скоростей процессов окисления алюминия и роста волокон, которое определяется, прежде всего, содержанием алюминия в жидкометаллической фазе, а также температурой и влажностью окружающей среды. Ранее [6—9] на основании систематических исследований были установлены оптимальные условия воспроизводимого получения монолитных образцов аэрогелей НОА с произвольной заданной формой сечения, в том числе содержащие отверстия заданного

диаметра. Подробный анализ механизма формирования указанных материалов, а также ключевых закономерностей изменения некоторых их физико-химических характеристик (удельной площади поверхности, химического и фазового состава, геометрической плотности) в ходе термической обработки в широком диапазоне температур (вплоть до 1650 °C) был проведен Виньесом с соавторами [8].

Несмотря на возможности практического применения материалов на основе НОА (химическая инертность, крайне низкая плотность, высокая удельная плошаль поверхности, высокая механическая прочность монолитных образцов с пористостью более 98%), количество публикаций, посвященных синтезу и анализу физико-химических характеристик этих материалов, крайне мало. В частности, к настоящему времени остается совершенно неизученным механизм формирования фибрилл НОА при селективном окислении алюминия на поверхности амальгамы. Для его корректного описания, а также для выявления особенностей структурных изменений, происхолящих при термической обработке НОА, необходима детальная информация о структуре данных материалов в широком диапазоне масштабов.

Целью настоящей работы был комплексный анализ особенностей микро- и мезоструктуры НОА, а также ее эволюции в ходе термической обработки. Основной массив структурных данных был получен с использованием комплекса методов: малоуглового рассеяния нейтронов (МУРН), ультрамалоуглового рассеяния нейтронов (УМУРН), а также малоуглового рассеяния рентгеновского излучения (МУРР).

ЭКСПЕРИМЕНТАЛЬНАЯ ЧАСТЬ

Синтез монолитных образцов НОА был проведен по методике, подробно описанной ранее [8]. Полученные аэрогели подвергали термической обработке при температурах 450, 900, 1150 °C на воздухе в муфельной печи (скорость нагрева 10 град/мин, продолжительность изотермического выдерживания 1 ч). Перед проведением всех измерений образцы перетирали в агатовой ступке.

Рентгенофазовый анализ образцов проводили с использованием дифрактометра Bruker D8 Advance (CuK_{α} -излучение) в диапазоне 20 5°—80° с шагом 0.02°. Для расшифровки рентгенограмм использовали банк данных ICDD PDF2. Анализ методом просвечивающей электронной микроскопии (ПЭМ) проводили с использованием микроскопа Leo 912 AB Отеда при ускоряющем напряжении 100 кВ.

Удельную площадь поверхности и распределение пор по размерам определяли методом низкотемпературной адсорбции азота с использованием анализатора QuantaChrome Nova 4200В. Перед

измерениями образцы дегазировали при 120 °С в вакууме в течение 16 ч. На основании полученных данных рассчитывали удельную площадь поверхности $S_{\rm БЭТ}$ с использованием модели Брюна-уэра—Эммета—Теллера (БЭТ) по семи точкам. Распределение пор по размерам рассчитывали на основании изотерм десорбции азота по модели Баррета—Джойнера—Халенды (БДХ).

Термический анализ образцов проводили с использованием анализатора SDT Q-600 (TA Instruments) при температурах до 1300 °C (скорость нагрева 10 град/мин) в потоке воздуха (250 мл/мин). Масса навесок составляла ~ 60 мг.

Измерения методами МУРН и УМУРН были проведены на установках КWS-2 и KWS-3 (реактор FRM—II, Гархинг, Германия) соответственно. Установка KWS-2 является классическим малоугловым дифрактометром, работающим в геометрии, близкой к точечной. Измерения проводили на длине волны нейтронов $\lambda=5.2~\text{Å}$ с $\Delta\lambda/\lambda=0.1$. Использование трех расстояний образец—детектор 2, 8 и 20 м позволяло измерять интенсивность рассеяния нейтронов в диапазоне переданных импульсов $3\times10^{-3} < q < 0.43~\text{Å}^{-1}$. Рассеянные нейтроны регистрировали двумерным сцинтилляционным позиционно-чувствительным детектором на основе ^6Li (128×128 ячеек с пространственным разрешением $5\times5~\text{мм}$).

Установка KWS-3 является малоугловым дифрактометром, работающим с использованием фокусирующего тороидального зеркала, что позволяет достигать высокого разрешения по переданным импульсам вплоть до 1×10^{-4} Å $^{-1}$ [10, 11]. Измерения проводили на длине волны нейтронов $\lambda=12.8$ Å ($\lambda/\lambda=0.2$). Использование двух расстояний образец—детектор 1 и 10 м позволяло измерять интенсивность рассеяния нейтронов в диапазоне переданных импульсов: $4\times 10^{-4} < q < 1.4\times 10^{-2}$ Å $^{-1}$. Рассеянные нейтроны регистрировали двумерным сцинтилляционным позиционно-чувствительным детектором на основе 6 Li (диаметр активной зоны 8.7 см с пространственным разрешением 0.36×0.39 мм).

Анализируемые порошки помещали между двумя кварцевыми стеклами. Исходные спектры для каждого интервала по q корректировали с применением стандартной процедуры [12] с учетом рассеяния арматурой установки и кварцевыми стеклами, а также фона зала. Полученные двумерные изотропные спектры азимутально усредняли и приводили к абсолютным значениям путем нормировки на сечение некогерентного рассеяния плексигласа с учетом эффективности детектора [12] и толщины L для каждого из образцов. Все измерения проводили при комнатной температуре. Для предварительной обработки данных использовали программу QtiKWS [13].

Анализируемую в настоящей работе интенсивность МУРН и УМУРН $I_s(q)$ определяли как

$$I_{s}(q) = I(q) - TI_{0}(q),$$
 (1)

где I(q) и $I_0(q)-q$ -распределение рассеянных нейтронов после образца и пучка без образца соответственно, T — коэффициент трансмиссии прошедших через образец нейтронов:

$$T = \frac{I(0)}{I_0(0)} = \exp(-\Sigma_{\text{tot}}L), \tag{2}$$

где $\Sigma = \sigma_s + \sigma_a$ — интегральное сечение, включающее ядерное рассеяние σ_s и поглощение σ_a ; L — толщина образца.

Измеренные значения интенсивности МУРН и УМУРН связаны с законом рассеяния S(q) следующим соотношением:

$$I_s(q) = I_0 L \int F(q - q_1) S(q) dq_1, \qquad (3)$$

где F(q) — функция разрешения установки, которую аппроксимировали функцией Гаусса [14].

Таким образом, использование комплекса методов ультрамалоуглового и малоуглового рассеяния нейтронов позволило провести анализ в диапазоне переданных импульсов $2\times10^{-4} < q < 0.43~{\rm Å}^{-1}$, что соответствует диапазону характеристических размеров от $10~{\rm Å}$ до нескольких микрон.

Измерения МУРР были проведены на экспериментальной станции ДИКСИ, расположенной на канале 1.3.а синхротрона "КИСИ-Курчатов" (НИЦ "Курчатовский институт", Москва), работающей в аксиальной геометрии и оснащенной газонаполненным детектором MarCCD 165 (Rayonix) с диаметром активной зоны 190 мм и разрешением 80 мкм. Использование длины волны фотонов $\lambda = 1.62~{
m \AA}$ и двух расстояний образец—детектор 600и 2430 мм позволило проводить измерения интенсивности рассеяния в диапазоне переданных импульсов: $4 \times 10^{-3} \le q \le 4 \times 10^{-1} \text{ Å}^{-1}$. Перед измерением порошки насыпали на скотч. Исходные спектры корректировали с учетом рассеяния арматурой установки и скотча, а также фона зала. Полученные двумерные изотропные спектры были азимутально усреднены с учетом эффективности детектора. Все измерения проводили при комнатной температуре. Для предварительной обработки данных использовали пакет программ fit2D (ESRF) [15].

РЕЗУЛЬТАТЫ И ИХ ОБСУЖДЕНИЕ

Исходный образец НОА представляет собой крайне хрупкий материал, в результате термической обработки монолитов наблюдается их усадка, и в результате отжига при 1150 °C геометрические размеры образца уменьшаются примерно в два раза, монолитность образцов сохраняется.

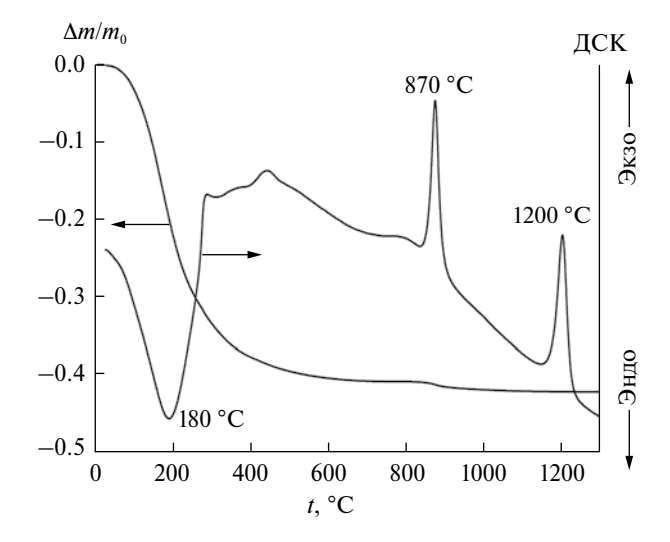


Рис. 1. Результаты термогравиметрического и дифференциально-термического анализа исходного образца НОА.

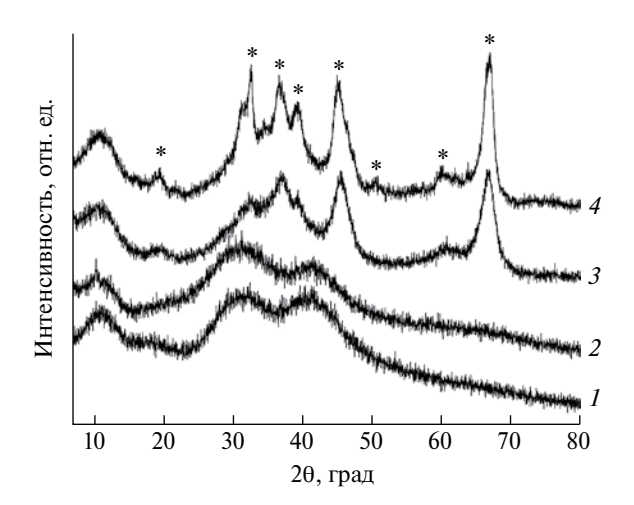


Рис. 2. Дифрактограммы образцов НОА: исходного (*I*) и продуктов его обработки при 450 (*2*), 900 (*3*), 1150 °C (*4*). Рефлексы, отвечающие фазе γ -Al₂O₃, помечены звездочкой.

Термический анализ НОА (рис. 1) показал, что процесс его термического разложения является двустадийным. Первая стадия термолиза (максимальная скорость потери массы при $180~^{\circ}$ C) отвечает удалению слабосвязанной воды, соответствующая потеря массы составляет ~40.8%. Вторая стадия потери массы (максимальная скорость при $870~^{\circ}$ C, $\Delta m/m_0 = 1.3\%$) сопровождается выраженным экзотермическим эффектом, отвечающим, очевидно, кристаллизации оксида алюминия. Дальнейший нагрев образца до $1300~^{\circ}$ C происходит без потери массы, однако при температуре $1200~^{\circ}$ C наблюдается экзотермический эффект, соответствующий, по-видимому, кристаллизации корунда [8]. Оценка химического состава исходного

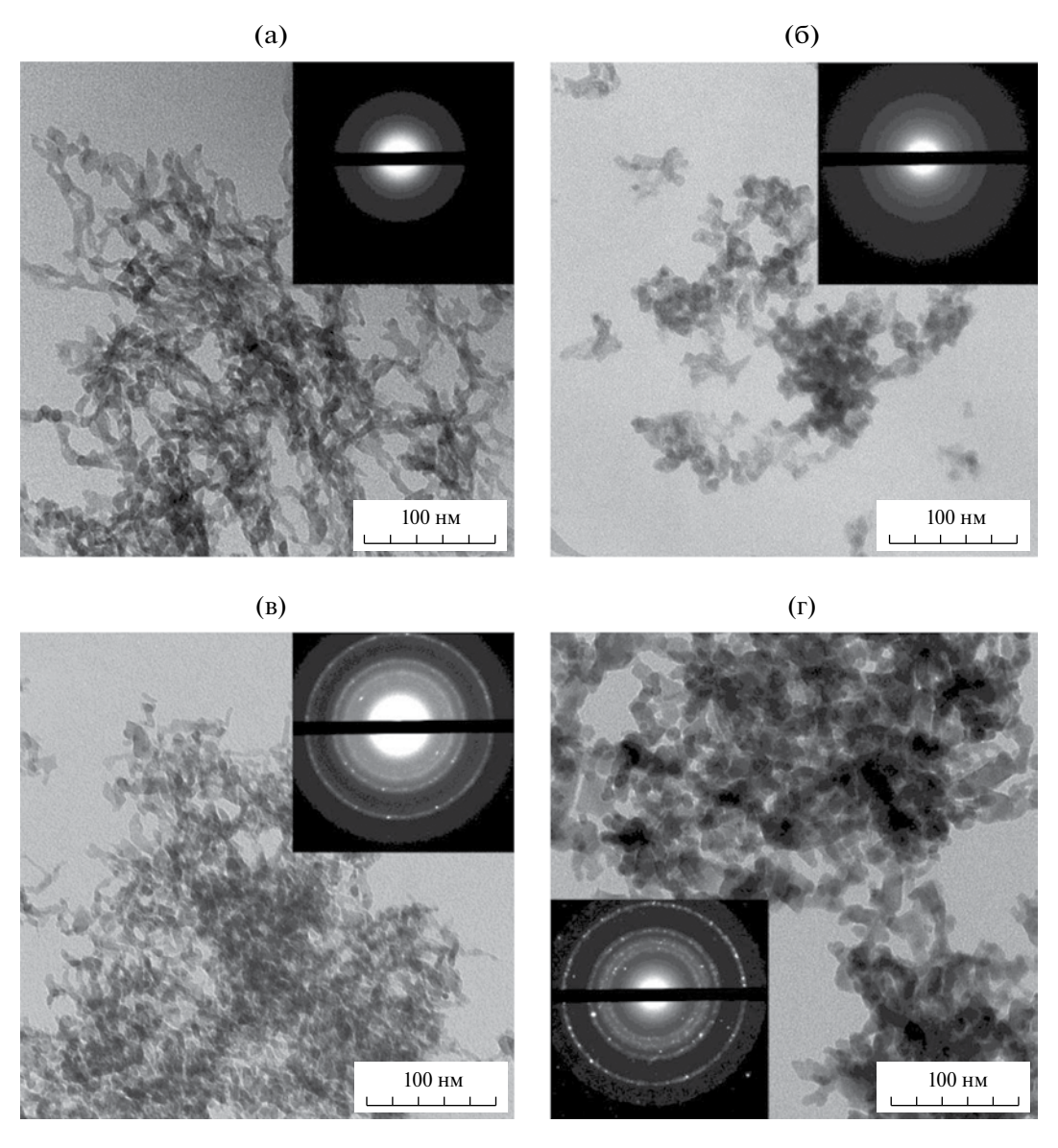


Рис. 3. Результаты ПЭМ и электронной дифракции для образцов исходного оксигидроксида алюминия (а) и продуктов его обработки при 450 (б), 900 (в), 1150 °C (г).

образца НОА из данных термического анализа привела к брутто-формуле Al₂O₃·4.12H₂O.

Данные рентгенофазового анализа исходного HOA, а также образцов, подвергнутых обработке при 450,900 и $1150\,^{\circ}$ С, приведены на рис. 2. Из рисунка следует, что фазовый состав исходного аэрогеля, а также образца, полученного обработкой при $450\,^{\circ}$ С, практически идентичен и соответствует рентгеноаморфной фазе. При повышении температуры обработки HOA до 900 и $1150\,^{\circ}$ С формируется кубическая модификация оксида алюминия γ -Al $_2$ O $_3$ (PDF2 77-396, пр. гр. $Fd\,^3m$.. Оценка размеров областей когерентного рассеяния для полученных образцов γ -Al $_2$ O $_3$ по формуле Шеррера (для рефлекса 400) привела к величинам около 4 нм. Отметим, что нанокристаллический

 $\gamma\text{-Al}_2O_3$ традиционно рассматривается в качестве одного из лучших каталитических материалов для конверсии углеводородов [16]. Полученные в работе данные находятся в соответствии с результатами анализа фазовых превращений НОА при высоких температурах [8].

На основании данных термического (рис. 1) и рентгенофазового анализов (рис. 2) схему термических превращений НОА (до 1300 °C) можно описать следующим образом:

$$Al_2O_3 \cdot 4.12H_2O$$
 (аморф.) $\stackrel{800^{\circ}C}{\rightarrow} l_2O_3 \cdot 0.22H_2O$ (аморф.) $\stackrel{870^{\circ}C}{\rightarrow} \gamma$ - $Al_2O_3 \stackrel{1200^{\circ}C}{\rightarrow} \alpha$ - Al_2O_3 .

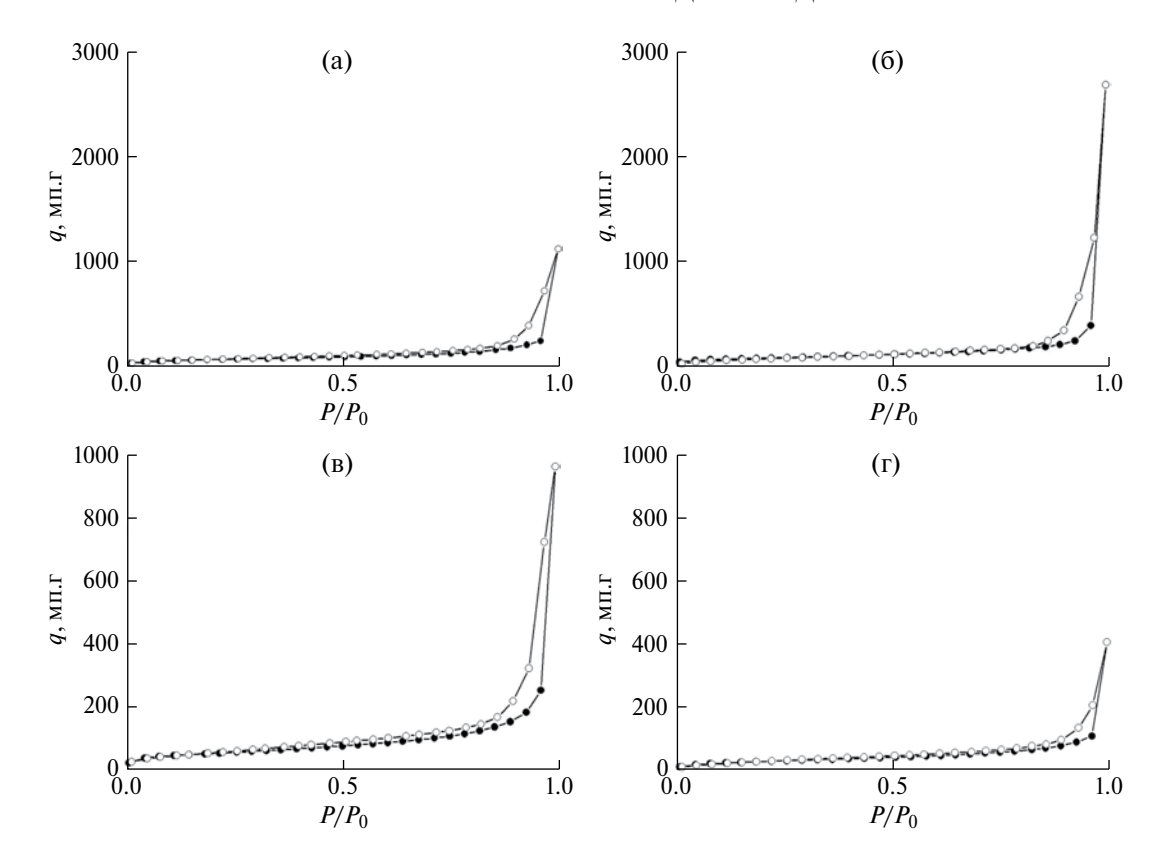


Рис. 4. Изотермы адсорбции и десорбции азота для исходного образца НОА (а) и продуктов его обработки при 450 (б), 900 (в) и 1150 °C (г).

На рис. 3 приведены ПЭМ-изображения исходного образца НОА, а также продуктов его термической обработки. Можно видеть, что исходный образец НОА состоит из переплетенных фибрилл диаметром ~10 нм. Высокотемпературный отжиг не приводит к значимым изменениям структуры, однако в результате обработки при 1150 °С частицы укрупняются до ~20 нм. Картина электронной дифракции, характерная для кристаллических веществ, наблюдается для образцов, отожженных при температурах 900 и 1150 °С, что полностью согласуется с данными рентгенофазового анализа.

На рис. 4 представлены изотермы адсорбции и десорбции азота для всех исследованных образцов. По внешнему виду изотермы близки ко II типу по классификации, предложенной С. Брунауэром, Л. Демингом, У. Демингом и Э. Теллером [17], отвечающему непористым и макропористым адсорбентам. В то же время присутствие гистерезиса позволяет отнести изотермы к IV типу, который характерен для мезопористых адсорбентов. Форма гистерезиса согласно классификации Де Бура [18] во всех случаях соответствует типу C, характерному для клиновидных пор с открытыми концами. Петли гистерезиса смыкаются при значениях относительного давления P/P_0 больше 0.3, что свидетельствует о незначительном содержании микропор

в образцах. Результаты анализа полученных изотерм с использованием моделей БЭТ и БДХ представлены в табл. 1 и на рис. 5.

Как видно из табл. 1, исходный образец НОА обладает высокой удельной поверхностью ($S_{\rm БЭТ}=220~{\rm m}^2/{\rm r}$). Отжиг при 450 °C приводит к заметному увеличению $S_{\rm БЭТ}$ (на ~20%), а также практически двукратному увеличению удельного объема пор, что, очевидно, связано с протеканием топохимических процессов удаления химически связанной воды. Дальнейшее увеличение температуры отжига приводит к уменьшению $S_{\rm БЭТ}$ до 190 (900 °C) и 100 м²/г (1150 °C), что, по-видимому, обусловлено протеканием процессов спекания

Таблица 1. Удельная площадь поверхности ($S_{\text{БЭТ}}$) и удельный объем пор ($V_{\text{БДX}}$), определенные методом адсорбции/десорбции азота, для образцов НОА и продуктов его термической обработки

t, °C	$S_{ m BЭT}$, м 2 /г	$V_{\rm БДX},{ m cm}^3/\Gamma$
_	220 ± 10	1.75
450	265 ± 15	3.31
900	190 ± 10	1.51
1150	100 ± 10	0.63

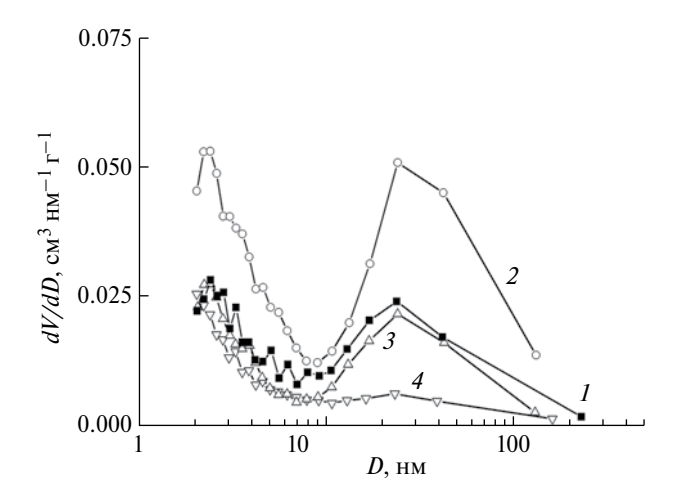


Рис. 5. Распределение пор по размерам, рассчитанное с использованием модели БДХ для исходного образца НОА (I) и продуктов его обработки при 450 (2), 900 (3), 1150 °C (4).

частиц оксида алюминия и изменения формы фибрилл.

Данные, полученные в рамках модели БДХ (рис. 5), указывают на бимодальное распределение пор по размерам во всех проанализированных образцах, максимальные удельные объемы пор отвечают диаметрам ~24 и ~2 нм. Примечательно, что увеличение температуры обработки практически не сказывается на положениях максимумов, на распределениях пор по размерам. Кроме того, вплоть до температуры 900 °C относительное содержание крупных и мелких мезопор остается практически неизменным, что свидетельствует о высокой стабильности мезоструктуры НОА в данном температурном интервале. При более высокой температуре (1150 °C) происходит значимое уменьшение доли крупных мезопор, однако мезопоры, имеющие маленький диаметр, сохраняются, обеспечивая относительно высокую удельную площадь поверхности соответствующего материала ($\sim 100 \text{ м}^2/\Gamma$).

Рассмотрим подробно результаты анализа НОА и продуктов его термической обработки, полученные методами малоуглового рассеяния нейтронов и рентгеновского излучения. На рис. 6 в двойном логарифмическом масштабе представлены экспериментальные зависимости сечения рассеяния нейтронов $d\Sigma(q)/d\Omega$ от переданного импульса qдля всех проанализированных образцов. Можно видеть, что в области больших переданных импульсов ($q > 0.2 \text{ Å}^{-1}$) наибольшей интенсивностью рассеяния характеризуется неотожженный образец исходного НОА, что связано, очевидно, с некогерентным рассеянием на атомах водорода, входящих в состав НОА в виде химически связанной или сорбированной воды. В остальном диапазоне переданных импульсов наблюдается прямая

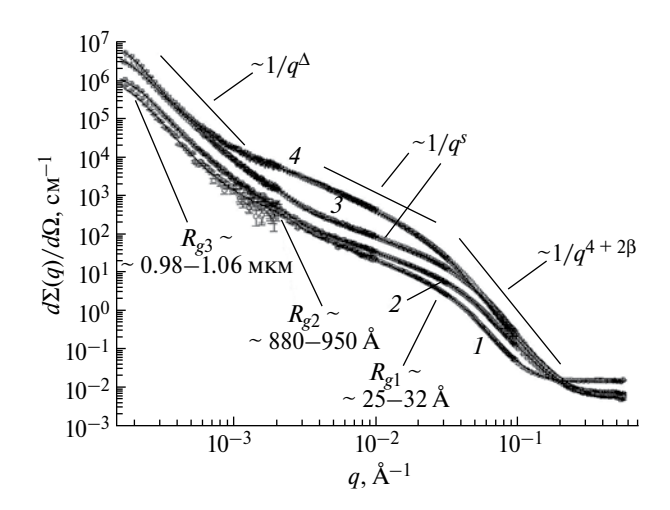


Рис. 6. Зависимость дифференциального сечения $d\Sigma(q)/d\Omega$ МУРН и УМУРН от переданного импульса q для образца НОА (I) и продуктов его обработки при температурах 450 (2), 900 (3), 1150 °C (4). Сплошные линии — результаты описания экспериментальных данных по формулам (6) и (7).

корреляция между температурой обработки НОА и интенсивностью рассеяния. Большая интенсивность рассеяния в образце, полученном отжигом при температуре 450 °C, связана, по-видимому, с его большей удельной площадью поверхности (табл. 1). Значение $S_{yд}$ входит в выражение для сечения рассеяния $d\Sigma(q)/d\Omega$ в качестве линейного члена [19]. Еще более высокая интенсивность рассеяния в образцах, полученных отжигом при температурах 900 и 1150 °C, по-видимому, вызвана присутствием в них кристаллической фазы.

Общим для всех кривых рассеяния, приведенных на рис. 6, является наличие двух диапазонов, в которых сечения рассеяния $d\Sigma(q)/d\Omega$ описываются степенными законами $q^{-\Delta}$ с различными значениями показателей степени Δ . Первый из них ($\Delta=n_1$) находится в области относительно больших переданных импульсов ($4.5\times10^{-2}< q<2\times10^{-1}\,\text{Å}^{-1}$), второй ($\Delta=n_2$) — в области малых ($2.5\times10^{-4}< q<1\times10^{-3}\,\text{Å}^{-1}$). В промежуточной области ($1\times10^{-3}< q<4.5\times10^{-2}\,\text{Å}^{-1}$), а также при $q<2.5\times10^{-4}\,\text{Å}^{-1}$ зависимость сечения рассеяния $d\Sigma(q)/d\Omega$ удовлетворительно описывается в рамках обобщенного приближения Гинье [20-23].

Таким образом, наблюдаемая для всех образцов картина МУРН является типичной для систем с неупорядоченной структурой, в данном случае пористой (твердая фаза—пора), и свидетельствует о том, что в образцах существуют рассеивающие неоднородности двух типов, очень сильно отличающиеся характерным масштабом, т.е. образцы обладают двухуровневой иерархической структурой [24—27]. Наиболее вероятно, что данные материалы состоят из крупномасштабных неоднородностей,

построенных из первичных неоднородностей, имеющих несферическую форму.

Картина МУРН на меньшем по масштабу структурном уровне, соответствующая диапазону $q>1\times 10^{-3}~{\rm \AA}^{-1}$ (рис. 6), типична для случайно ориентированных несферических (анизодиаметричных) объектов, например, для сильно вытянутых (фибриллы) или сплюснутых (ламели) частиц. Для описания рассеяния в области Гинье, в которой оно определяется характерным размером $R_{\rm c}$ и формой независимо рассеивающих неоднородностей, а не их локальной структурой, необходимо использовать обобщенное выражение [28]:

$$\frac{d\Sigma(q)}{d\Omega} = \frac{G}{q^s} \exp\left(-\frac{q^2 R_g^2}{3-s}\right),\tag{4}$$

где амплитуда G прямо пропорциональна произведению числа неоднородностей в рассеивающем объеме и средней плотности ρ амплитуды рассеяния на них нейтронов [20—23], а параметр s определяется формой рассеивающих неоднородностей. Для сферических объектов s=0, для одномерных частиц (фибриллы) s=1, для двумерных неоднородностей (ламели) s=2. Значения параметра s могут быть не только целочисленными, но и дробными, например, если рассеивающие неоднородности имеют форму эллипсоида вращения либо в системе присутствуют неоднородности различной формы.

Поскольку несферические объекты определяются не одним, а двумя (радиус $R_{\rm c}$ и длина Lв случае фибрилл) или тремя (толщина T, ширина W и длина L для ламелей) характерными размерами, то отвечающая им область Гинье может включать в себя два или три диапазона переданного импульса q, что полностью соответствует наблюдаемым экспериментальным данным (рис. 6). Для всех проанализированных порошков при $q>1\times 10^{-3}~{\rm \AA}^{-1}$ на зависимостях сечения рассеяния можно выделить три диапазона: диапазон, отвечающий режиму Порода, в котором рассеяние определяется локальной структурой рассеивающих неоднородностей и описывается степенной зависимостью q^{-n_1} , и две области, соответствующие режимам Гинье, в которых рассеяние определяется характерными размерами несферических рассеивающих неоднородностей.

Значения показателя степени n_1 , определенные из наклонов прямолинейных участков экспериментальных зависимостей $d\Sigma(q)/d\Omega$, лежат в интервале от 4.21 до 4.69. Указанные значения характерны для пористых систем с диффузной поверхностью раздела фаз, $n=4+2\beta>4$, где $0\leq\beta\leq 1$ — параметр, характеризующий закон изменения ядерной плотности ρ в поверхностном слое рассеивающих неоднородностей [29]. Если предположить, что неоднородности обладают гладкой поверхностью, то ядерная плотность ρ будет зависеть

лишь от расстояния x от точки на поверхности. Таким образом, ядерная плотность $\rho(x)$ может быть представлена в виде:

$$\begin{cases} \rho(x) = 0, x < 0, \\ \rho(x) = \rho_0 (x / \alpha)^{\beta}, \ 0 \le x \le \alpha, \\ \rho(x) = \rho_0, x \le \alpha, \end{cases}$$
 (5)

где α — толщина диффузного слоя, в котором ядерная плотность ρ возрастает от 0 до ρ_0 . Указанная модель была использована в дальнейшем при анализе рассеяния в диапазоне $q>1\times 10^{-3}~{\rm \AA}^{-1}$ [29].

В области $q>2\times 10^{-1}~{\rm Å}^{-1}$ сечение рассеяния $d\Sigma(q)/d\Omega$ перестает зависеть от q и соответствует, по-видимому, некогерентному рассеянию на атомах водорода, что делает невозможным анализ рассеяния в данном диапазоне. В связи с этим был дополнительно проведен анализ методом МУРР, результаты которого будут обсуждены ниже.

В целом для анализа рассеяния на первом, наименьшем по характерному размеру, структурном уровне (в диапазоне $q > 1 \times 10^{-3} \, \text{Å}^{-1}$) была использована обобщенная эмпирическая модель Гинье—Порода [28]:

$$egin{aligned} rac{d\Sigma(q)}{d\Omega} &= G_2 \exp(-rac{q^2 R_{g2}^2}{3}) \;\; \text{при } q < q_2, \ rac{d\Sigma(q)}{d\Omega} &= rac{G_1}{q^{s_1}} \exp(-rac{q^2 R_{g1}^2}{3-s_1}) \;\; \text{при } q_2 < q < q_1, \quad (6) \ rac{d\Sigma(q)}{d\Omega} &= rac{B_1}{q^{n_1}} + I_{ ext{inc}} \; \text{при } q > q_1. \end{aligned}$$

Здесь $(3-s_1)$ — размерный фактор; R_{g1} и R_{g2} — характерные размеры несферических рассеивающих неоднородностей ($R_{g1} < R_{g2}$) (для фибрилл радиусом R и длиной L $R_{g2} = (L^2/12 + R^2/2)^{1/2}$, $R_{g1} = R/2^{1/2}$; для ламелей толщиной T и шириной W $R_{g2} = (W^2/12 + T^2/12)^{1/2}$, $R_{g1} = T/12^{1/2}$); G_2 и G_1 — коэффициенты Гинье [20–23]; B_1 — коэффициент, зависящий от локальной структуры рассеивающих неоднородностей [30]; $I_{\rm inc}$ — константа, обусловленная некогерентным рассеянием на атомах водорода.

Рассеяние на втором, большем по размеру, структурном уровне, наблюдаемое в диапазоне малых переданных импульсов $(2.5 \times 10^{-4} < q < 1 \times 10^{-3} \, \text{Å}^{-1})$, описывается степенной зависимостью q^{-n_2} . Значения показателя степени n_2 , определенные из наклонов прямолинейных участков экспериментальных кривых $d\Sigma(q)/d\Omega$, находятся в интервале от 3.85 до 3.92. Эти значения указывают на близость закона рассеяния в данном диапазоне к закону Порода (n=4) [31, 32], соответствующего неоднородностям с практически гладкой поверхностью. Незначительное отличие

показателя степени n_2 от четырех может быть обусловлено либо наличием на поверхности рассеивающих неоднородностей шероховатостей, имеющих характерный размер, превышающий длину волны используемых в эксперименте нейтронов ($\lambda = 12.8 \text{ Å}$) [33], либо полидисперсностью рассеивающих неоднородностей [34].

Отклонение экспериментальной зависимости сечения рассеяния $d\Sigma(q)/d\Omega$ от степенного закона q^{-n_2} наблюдается для всех образцов в области малых переданных импульсов ($q<2.5\times10^{-4}~{\rm \AA}^{-1}$) и связано с выходом в режим Гинье, в котором рассеяние определяется характерным размером $R_{\rm c3}$ независимо рассеивающих крупномасштабных неоднородностей. Для сферических частиц справедливо соотношение $R_{\rm c}=\sqrt{5/3}R_{\rm g}$ [35]. Таким образом, для описания эксперименталь-

Таким образом, для описания экспериментальных данных в диапазоне $q > 1 \times 10^{-3} \, \text{Å}^{-1}$ было использовано унифицированное экспоненциально-степенное выражение [36]:

$$\frac{d\Sigma(q)}{d\Omega} = G_3 \exp(-\frac{q^2 R_{g3}^2}{3}) + \frac{B_2}{\hat{q}^{n_2}},\tag{7}$$

где $\hat{q}=q$ / [erf(qR_g / $6^{1/2}$)] 3 — переданный импульс q, нормированный на функцию ошибок erf(x). Данная процедура позволяет корректно описать поведение сечения рассеяния $d\Sigma(q)/d\Omega$ в промежуточном интервале между $qR_c<1$ (приближение Гинье) и $qR_c>>1$ (степенной закон рассеяния q^{-n}).

Для получения окончательных результатов выражения (6) и (7) сворачивали с функцией

разрешения установки. Экспериментальные зависимости дифференциального сечения рассеяния $d\Sigma(q)/d\Omega$ обрабатывали МНК во всем исследуемом диапазоне. Результаты анализа представлены на рис. 6 и в табл. 2.

Согласно приведенным в табл. 2 данным, все исследованные образцы представляют собой пористые системы с двухуровневой иерархической организацией структуры. Первый структурный уровень состоит из анизодиаметричных неоднородностей с характерным размером $R_{g1}\approx 25-32$ Å, обладающих диффузной поверхностью [29]. Для исходного НОА и продуктов его термической обработки при 450 и 900 °C значения параметра *s* порядка единицы (s = 1.35 - 1.42), что указывает на близость их формы к фибриллам. Радиус поперечного сечения этих фибрилл составляет $R_1=2^{1/2}R_{g1}\approx 36-43$ Å, а длина $L\approx 3200-3300$ Å, что удовлетворительно согласуется как с результатами ПЭМ (рис. 3), так и литературными данными [8]. Несколько иная ситуация наблюдается для образца, полученного отжигом при 1150 °C — соответствующее значение параметра *s* составляет 1.80, что больше отвечает не фибриллярной, а ламеллярной структуре (геометрические параметры ламелл составляют $T=12^{1/2}R_{g1}\approx 110~{\rm \AA}$ и $W\approx 3050~{\rm \AA}$). Изменение формы рассеивающих неоднородностей первого структурного уровня, вероятно, вызвано уменьшением соотношения длина/диаметр частиц оксида алюминия в результате их спекания.

Агрегаты рассеивающих неоднородностей представляют собой второй структурный уровень — крупномасштабные ($R_{\rm c}=(5/3)^{1/2},\,R_{g3}\approx 1.25-1.4$ мкм) глобулы с незначительной шероховатостью поверхности. Как следует из данных, приведенных в табл. 2,

Таблица 2. Параметры микро- и мезоструктуры исходного НОА, а также продуктов его термической обработки, полученные из анализа данных УМУРН и МУРН

+ °C		450	000	1150				
t, °C	_	450	900	1150				
Первый структурный уровень (МУРН)								
$G_2,10^4{ m cm}^{-1}$	0.09 ± 0.01	0.11 ± 0.01	0.38 ± 0.04	1.2 ± 0.06				
R_{g2} , Å	952 ± 37	927 ± 42	953 ± 31	880 ± 40				
G_1 , cm $^{-1}$ ·Å $^{-s_1}$	0.11 ± 0.01	0.27 ± 0.01	0.34 ± 0.01	0.18 ± 0.01				
s_1	1.42 ± 0.01	1.36 ± 0.01	1.35 ± 0.01	1.80 ± 0.01				
R_{g1} , Å	30.3 ± 0.5	25.4 ± 0.5	26.2 ± 0.4	32.0 ± 0.6				
B_1 , 10^{-6} cm ⁻¹ ·Å ^{-n_1}	1.5 ± 0.1	30.0 ± 0.9	8.7 ± 0.4	6.0 ± 0.3				
$n_1 = 4 + 2\beta$	4.67 ± 0.03	4.34 ± 0.03	4.69 ± 0.03	4.21 ± 0.03				
$I_{\rm inc},~10^{-2}~{ m cm}^{-1}$	1.3 ± 0.1	0.7 ± 0.02	0.7 ± 0.02	0.75 ± 0.02				
Второй структурный уровень (УМУРН)								
G_3 , 10^7cm^{-1}	0.21 ± 0.02	0.27 ± 0.01	0.75 ± 0.03	1.64 ± 0.04				
R_{g3} , Å	10640 ± 290	9985 ± 120	9770 ± 160	10870 ± 130				
B_2 , 10^{-9} cm ⁻¹ ·Å ⁻ⁿ ₂	2.0 ± 0.5	22.1 ± 0.9	6.6 ± 0.5	10.2 ± 0.4				
n_2	3.87 ± 0.09	3.92 ± 0.05	3.85 ± 0.05	3.88 ± 0.05				

характерный размер (R_c) крупномасштабных глобул слабо зависит от условий термической обработки НОА и во всех случаях составляет около 1 мкм. С увеличением температуры отжига до 900 °С наблюдается постепенное уменьшение (на ~8%) значения R_c , а дальнейшее увеличение температуры до 1150 °С приводит к росту R_c . Указанные процессы связаны, очевидно, с перестройкой мезоструктуры НОА в ходе его термической обработки, протекания процессов дегидратации, кристаллизации и роста частии.

Как было указано выше, анализ сечения рассеяния нейтронов в области $q>2\times 10^{-1}~{\rm Å}^{-1}$ был невозможен в связи с высоким уровнем фона, вызванным некогерентным рассеянием на атомах протия. В связи с этим был проведен дополнительный анализ образцов методом МУРР. Полученные данные представлены в двойном логарифмическом масштабе на рис. 7.

Из полученных данных следует, что в диапазоне $q < 2 \times 10^{-1} \ {\rm \AA}^{-1}$ вид зависимостей МУРР $I_{\rm c}(q)$ для всех образцов качественно совпадает с данными МУРН. Это позволяет утверждать, что рассеяние рентгеновского излучения также обусловлено наличием в образцах случайно ориентированных анизодиаметричных объектов (фибрилл или ламелл). Из рис. 7 также следует, что в области больших переданных импульсов ($q > 2 \times 10^{-1} \text{ Å}^{-1}$) на кривых рассеяния наблюдается плечо, соответствующее выходу на режим Гинье. В этой области рассеяние определяется характерным размером $r_{\rm c0}$ независимо рассеивающих первичных неоднородностей базового структурного уровня. Отметим, что с увеличением температуры термического отжига образцов НОА положение этого плеча закономерно сдвигается в область меньших q, что свидетельствует об увеличении характерного размера r_{c0} . Таким образом, в целом мезоструктура НОА описывается в рамках трехуровневой модели (базовый, первый и второй структурный уровни).

В связи с этим для анализа данных МУРР во всем диапазоне q использовали обобщенную эмпирическую модель Гинье—Порода [28]:

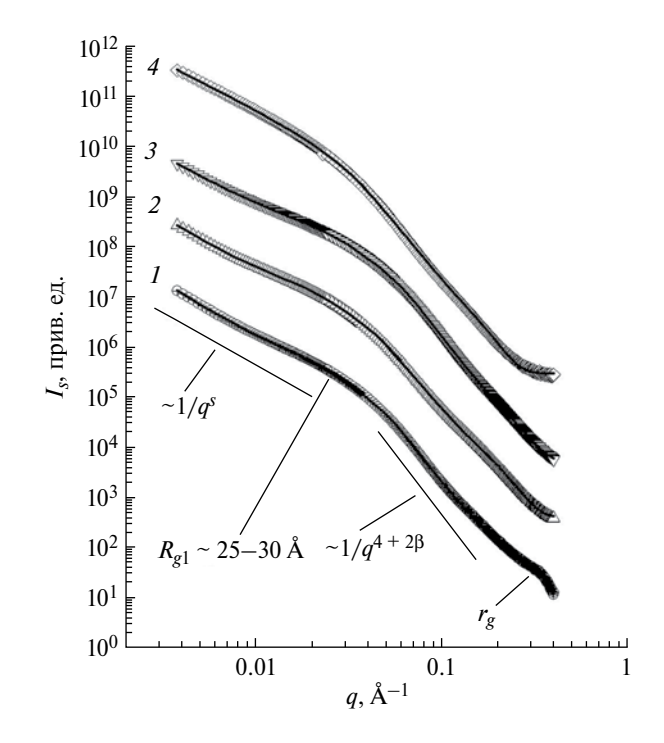


Рис. 7. Данные МУРР для исходного образца НОА (1) и продуктов его обработки при 450 (2), 900 (3) и 1150 °C (4). Сплошные линии — результаты описания экспериментальных данных по формулам (8). Для наглядности значения $I_s(q)$ для кривых рассеяния 2, 3, 4 умножены на 10, 100 и 10000 соответственно.

$$rac{d\Sigma(q)}{d\Omega} = rac{G_{
m l}}{q^{s_{
m l}}} \exp(-rac{q^2R_{
m g1}^2}{3-s_{
m l}})$$
при $q < q_{
m l},$ (8.1)

$$rac{d\Sigma(q)}{d\Omega} = rac{B_{\mathrm{l}}}{q^{n_{\mathrm{l}}}} + G_{0} \exp(-rac{q^{2}r_{g0}^{2}}{3})$$
 при $q>q_{\mathrm{l}}.$ (8.2)

Экспериментальные зависимости интенсивности $I_S(q)$ обрабатывали МНК во всем исследуемом диапазоне. Результаты анализа данных МУРР представлены на рис. 7 и в табл. 3.

В целом параметры первого структурного уровня организации образцов, определенные из данных

Таблица 3. Параметры микро- и мезоструктуры исходного HOA, а также продуктов его термической обработки, полученные из анализа данных MУРР

t, °C	_	450	900	1150			
Первый структурный уровень							
s_1	1.49 ± 0.01	1.43 ± 0.01	1.38 ± 0.01	1.86 ± 0.01			
R_{g1} , Å	24.9 ± 0.6	29.4 ± 0.4	25.8 ± 0.4	29.5 ± 0.6			
$R_{g1}, \text{ Å}$ $n_1 = 4 + 2\beta$	4.47 ± 0.04	4.09 ± 0.03	4.36 ± 0.03	4.31 ± 0.03			
Базовый структурный уровень							
r_g , Å	7.1 ± 0.2	10.8 ± 0.5	11.2 ± 0.4	14.3 ± 0.5			

МУРР, удовлетворительно согласуются с результатами, полученными из данных рассеяния нейтронов. Это касается значений параметра s, характеризующего форму рассеивающих неоднородностей, показателя степени n_1 , характеризующего свойства их поверхности, и параметра R_{g_1} , связанного с их характерными размерами. Некоторые различия в параметрах первого структурного уровня, определенных независимо методами МУРР и МУРН, вероятно, связаны с различиями в контрасте рассеяния рентгеновского и нейтронного излучения на пористых объектах. Аналогичные наблюдения были сделаны ранее при анализе мезоструктуры гидратированного диоксида циркония [37].

По данным МУРР характерный размер $r_{\rm c}$ первичных неоднородностей закономерно увеличивается с ростом температуры отжига НОА и составляет 9.2 ± 0.3 Å для исходного образца НОА, 13.9 ± 0.7 , 14.5 ± 0.6 и 18.5 ± 0.7 Å для продуктов его обработки при температурах 450, 900 и 1150 °C соответственно.

ЗАКЛЮЧЕНИЕ

Впервые выполнено комплексное исследование микро- и мезоструктуры образцов наноструктурированного оксигидроксида алюминия, получаемого окислением поверхности жидкометаллического раствора алюминия в ртути на воздухе, а также продуктов его отжига при температурах 450, 900 и 1150 °C с привлечением методов рассеяния нейтронов и рентгеновского излучения в диапазоне переданных импульсов ($2 \times 10^{-4} < q < 0.43 \text{ Å}^{-1}$). Установлено, что структура проанализированных образцов может быть описана в рамках трехуровневой модели, включающей в себя наличие первичных неоднородностей (характерный размер $r_{\rm c} \approx 9 - 19 \,\text{Å}$), формирующих фибриллы (радиус поперечного сечения $R \approx 36{-}43~{
m \AA}$ и длина $L \approx 3200{-}$ 3300 Å) или ламели (толщина $T \approx 110$ Å и ширина $W \approx 3050 \text{ Å}$) с диффузной поверхностью, которые, в свою очередь, объединены в крупномасштабные агрегаты (характерный размер $R_c \approx 1.25 - 1.4$ мкм) с незначительной шероховатостью поверхности.

Выявлено, что в результате термической обработки при 1150 °С происходит разрушение фибриллярной структуры, характерной для НОА и сохраняющейся при его термическом отжиге до температур не ниже 900 °С, сопровождающееся существенным уменьшением удельного объема мезопор.

БЛАГОДАРНОСТИ

Работа выполнена при финансовой поддержке РФФИ (проект № 17-53-150007 НЦНИ_а). Исследования проводились с использованием оборудования ЦКП ФМИ ИОНХ РАН.

СПИСОК ЛИТЕРАТУРЫ

- 1. Wislicenus H. // Z. Chem. Ind. Kolloide. 1908. B. 2. S. XI.
- 2. Cheng W., Rechberger F., Niederberger M. // Nanoscale. 2016. V. 8. P. 14074.
- Jung S. M., Jung H. Y., Fang W. et al. // Nano Lett. 2014.
 V. 14. P. 1810.
- Tang Y., Gong S., Chen Y. et al. // ACS Nano. 2014. V. 8. P. 5707.
- Lin Z., Zeng Z., Gui X. et al. // Adv. En. Mater. 2016.
 V. 6. P. 1600554.
- Vignes J.-L., Mazerolles L., Michel D. // Key Engin. Mater. 1997. V. 132–136. P. 432.
- Мартынов П.Н., Асхадуллин Р.Ш., Юдинцев П.А., Ходан А.Н. // Новые промышленные технологии. 2008. № 4. С. 48.
- 8. *Vignes J.-L., Frappart C., Di Costanzo T. et al.* // J. Mater. Sci. 2008. V. 43. P. 1234.
- 9. Asadchikov V.E., Askhadullin R.S., Volkov V.V. et al. // JETPh Lett. 2015. V. 101. P. 556.
- Goerigk G., Varga Z. // J. Appl. Crystallogr. 2011. V. 44. P. 337.
- 11. Radulescu A., Kentzinger E., Stellbrink J. et al. // Neutron News. 2005. V. 16. P. 18.
- Wignall G. D., Bates F.S. // J. Appl. Crystallogr. 1987.
 V. 20. P. 28.
- 13. http://iffwww.iff.kfa-juelich.de/~pipich/dokuwiki/doku.php/qtikws
- 14. *Schmatz W.*, *Springer T.*, *Schelten J.*, *Ibel K.* // J. Appl. Crystallogr. 1974. V. 7. P. 96.
- 15. http://www.esrf.eu/computing/scientific/FIT2D/
- 16. Euzen P., Raybaud P., Krokidis X. et al. Handbook of Porous Solids / Ed. Schüth F. et al. Weinheim: Wiley-VCH Verlag GmbH, 2008. 3141 p.
- 17. Brunauer S., Deming L.S., Deming W.E., Teller E. // J. Amer. Chem. Soc. 1940. V. 62. P. 1723.
- 18. *De Boer J.H.* // The Structure and Properties of Porous Materials. London: Colston Papers, 1958. P. 68.
- 19. Debye P., Bueche A. M.J. // Ann. Phys. 1949. V. 20. P. 518.
- 20. Luzzati V. // Acta Crystallogr. 1960. V. 13. P. 939.
- Kratky O. // Prog. Biophys. Mol. Biol. 1963. V. 13. P. 105.
- 22. Small-Angle X-ray Scattering / Ed. Glatter O., Kratky O. London: Academic Press, 1982. P. 155.
- 23. Hjelm R. P., Thiyagarajan P., Alkan-Onyuksel H. // J. Phys. Chem. 1992. V. 96. P. 8653.
- 24. Southon P.D., Bartlett J.R., Woolfrey J.L., Ben-Nissan B. // Chem. Mater. 2002. V. 14. P. 4313.
- 25. Beaucage G., Ulibarri T.A., Black E.P., Schaefer D.W. // Hybrid Organic-Inorganic Composites / Ed. Mark J. et al. ACS Symp. Ser. Washington DC: American Chemical Society, 1995. P. 97.
- 26. Štěpánek M., Matějíček P., Procházka K. et al. // Langmuir. 2011. V. 27. P. 5275.

- 27. *Хамова Т.В.*, *Шилова О.А.*, *Копица Г.П.*, *Angelov В.*, *Жигунов А.* // Поверхность. Рентген., синхротр. и нейтрон. исслед. 2015. Т. 9. № 12. С. 5.
- 28. *Hammouda B.* // J. Appl. Crystallogr. 2010. V. 43. P. 716.
- Schmidt P.W., Avnir D., Levy D. et al. // J. Chem. Phys. 1991. V. 94. P. 1474.
- 30. *Teixera J.* // On Growth and Form. Fractal and Non-Fractal Patterns in Physics / Ed. Stanley H.E., Ostrovsky N. Boston: Martinus Nijloff Publ., 1986. P. 145.
- 31. Porod G. // Kolloid Z. 1952. B. 125. S. 51.

- 32. Porod G. // Kolloid Z. 1952. B. 125. S. 109.
- 33. Wong P. // Phys. Rev. B. 1985. V. 32. P. 7417.
- 34. *Schmidt P.W.* // Modern Aspects of Small-Angle Scattering / Ed. Brumberger H. Dordrecht: Kluwer Academic Publishers, 1995. P. 1.
- 35. *Guinier A., Fournet G.* // Small-Angle Scattering of X-Rays. New York: Wiley, 1955. P. 17.
- 36. Beaucage G. // J. Appl. Crystallogr. 1995. V. 28. P. 717.
- 37. Gubanova N.N., Baranchikov A. Ye., Kopitsa G.P. et al. // Ultrasonics Sonochem. 2015. V. 24. P. 230.

Structure of Aluminium Oxohydroxide Aerogels: Small Angle Scattering Studies

A.N. Khodan, G.P. Kopitsa, Kh.E. Yorov, A.E. Baranchikov, V.K. Ivanov, A. Feoktystov, V. Pipich

The micro- and mesostructure of nanostructured aluminum oxyhydroxide formed as a highly porous monolithic material during the oxidation of the surface of a liquid metal solution of aluminum in mercury in air with controlled temperature and humidity is studied. X-ray phase, thermal analysis, low-temperature nitrogen adsorption, transmission electron microscopy, small-angle and ultra-small-angle neutron scattering, and small-angle X-ray scattering have been used for complex studies of samples synthesized at 25 °C and isothermally annealed at temperatures up to 1150 °C. It is found that the structure of the samples can be described within a three-level model where primary inhomogeneities (characteristic size $r_{\rm c}$ 9–19 Å) form fibrillae (cross section radius $R \approx 36-43$ Å, length $L \approx 3200-3300$ Å) or lamellae (thickness $T \approx 110$ Å, width $W \approx 3050$ Å), which, in turn, are combined into large-scale aggregates (characteristic size $R_{\rm c} \approx 1.25-1.4\,\mu{\rm m}$) with slightly rough surface. It is shown that the high specific surface area (~200 m²/g) of the initial sample is retained during thermal treatment up to 900 °C, and after heat treatment at 1150 °C decreases to ~100 m²/g as a result of sintering of fibrillae.

Keywords: nanostructured aluminium oxohydroxide, aerogels, small-angle neutron scattering, small-angle X-ray scattering.